

บทที่ 4

กระบวนการเกิดโพลิเมอร์แบบอิมัลชันและการออกแบบตัวควบคุม

เทคโนโลยีของสารเคลือบผิวโดยเฉพาะอย่างยิ่งเทคโนโลยีของสี มีมานานพร้อมกับยุคประวัติศาสตร์เริ่มต้น และมีการพัฒนาอย่างต่อเนื่อง จนกระทั่งในปี ค.ศ. 1930 ได้เริ่มการผลิตสีน้ำ (Water-based Paint) โดยการนำเคซีน (Casein) มาผสมกับผงสีที่มีค่าดัชนีหักเหสูง สีน้ำนี้มีราคาสูง จากนั้นได้มีการนำเอาน้ำมันแห้งเร็วผสมกับสีน้ำจากเคซีนเพื่อช่วยปรับปรุงคุณสมบัติให้ดีขึ้น ยิ่งใส่น้ำมันมากเท่าใด สีน้ำก็ยิ่งเปลี่ยนสภาพเป็นอิมัลชันมากขึ้น (Emulsion) และสีอิมัลชันเป็นที่นิยมมากที่สุดในช่วงสงครามโลกครั้งที่ 2 และเมื่อสงครามโลกครั้งที่ 2 สิ้นสุดลง ได้มีการผลิตสีลาเท็กซ์สังเคราะห์ (Synthesis Latex Paint) ขึ้น ตัวอย่างเช่น สีสไตรีนบิวตะไดอินลาเท็กซ์ (Styrene-butadiene Latex) ซึ่งเป็นที่นิยมใช้กันมากในการทาฝ้าผนัง เพราะใช้ง่ายและทำความสะอาดได้ง่าย อีกประมาณ 10 ปีต่อมา จึงได้มีการนำอะคริลิคอิมัลชันมาใช้เป็นสารยึดเกาะในสีลาเท็กซ์

อะคริลิคเรซิน (Acrylic Resin) เป็นโพลิเมอร์หรือโคโพลิเมอร์ที่เตรียมหรือสังเคราะห์ขึ้นจากกรดอะคริลิค, อนุพันธ์ของกรดอะคริลิค เช่นกรดเมทาคริลิค และเอสเทอร์ของกรด เช่นเมทิลเมทาคริเลต (Methyl methacrylate, $\text{CH}_2=\text{C}(\text{CH}_3)\text{COOCH}_3$), นอร์มอล-บิวทิลอะคริเลต (n-Butyl acrylate, $\text{CH}_2=\text{CHCOOC}_4\text{H}_9$)

สีอิมัลชัน (Emulsion Paint) หมายถึง สีที่มีสีน้ำเป็นอิมัลชันของสารยึดกับน้ำ อาจเรียกว่าสีลาเท็กซ์ (Latex Paint) หรือสีน้ำพลาสติก (Plastic Paint)

อิมัลชันเป็นระบบที่ประกอบด้วยของเหลว 2 เฟส ที่ไม่เป็นเนื้อเดียวกัน โดยของเหลวหนึ่งจะถูกกระจายหรืออิมัลซีฟายในลักษณะของหยดเล็ก ๆ อยู่ในของเหลวอีกเฟสหนึ่ง ของเหลวเฟสหลังนี้จะล้อมรอบหยดเล็ก ๆ ของของเหลวเฟสแรกทุกหยด และเรียกของเหลวเฟสแรกว่าเฟสภายใน (Internal, inner or disperse phase) ส่วนของเหลวเฟสหลังเรียกว่า เฟสภายนอก (External, outer or continuous phase or disperse medium) ของเหลวทั้งสองเฟสจะไม่ละลาย หรือละลายซึ่งกันและกันได้เพียงบางส่วนเท่านั้น ในกรณีของอิมัลชัน น้ำจะเป็นของเหลวเฟสหนึ่ง ส่วนของเหลวอีกเฟสหนึ่งคือสารยึด

โดยทั่วไปอีมีลชันโพลีเมอร์แบ่งออกเป็น 2 ชนิดตามเฟสใน ได้แก่ ชนิดน้ำมันในน้ำ (Oil-in-water) หรือ O/W emulsion ซึ่งประกอบด้วยน้ำมันหรือสารอินทรีย์อื่น ๆ ที่ไม่ละลายในน้ำเป็นเฟสภายใน และ ชนิดน้ำในน้ำมัน (Water-in-oil) หรือ W/O emulsion ประกอบด้วยน้ำเป็นเฟสภายใน

สารยึดที่สำคัญในอีมีลชันมี 3 ชนิดคือ สไตรีน-บิวตะไดอีน (Styrene-Butadiene Latex) โพลีไวนิลแอลกอฮอล์ทั้งชนิดโฮโม- และโคโพลีเมอร์ และอะคริลิกโพลีเมอร์ทั้งชนิดโฮโม- และโคโพลีเมอร์ ในที่นี้จะกล่าวถึงรายละเอียดของอะคริลิกโพลีเมอร์ดังนี้

อะคริลิกอีมีลชัน (Acrylic Emulsion)สามารถนำอนุพันธ์ของกรดอะคริลิกมาอีมีลซิฟายได้ง่าย โดยไม่จำเป็นต้องใส่สารทำให้ขุ่น อัตราการเกิดโพลีเมอร์ไรเซชันของโมโนเมอร์เหล่านี้สูงมาก ดังนั้นในการทำโพลีเมอร์ไรเซชัน จึงต้องใส่สารริเริ่ม (Initiator) โดยปกติการเกิดโพลีเมอร์ไรเซชันของโมโนเมอร์จะให้โพลีเมอร์ที่มีน้ำหนักโมเลกุลสูง

สมบัติของอีมีลชัน

อีมีลชันหรือสีลาเทกซ์มีข้อดีหลายประการดังนี้

1. สามารถทำให้เจือจางหรือเหลวได้ด้วยน้ำ นอกจากนี้แปรงและอุปกรณ์อื่น ๆ ที่ใช้ก็สามารถล้าง ๆ ได้ด้วยน้ำ
2. ทาง่าย เนื่องจากอนุภาคมีขนาดเล็ก
3. แห้งเร็ว โดยเกิดเป็นฟิล์มที่ไม่หลุดง่าย พบว่าอีมีลชันโดยทั่วไปจะใช้เวลาในการแห้งภายใน 30 นาที ถึง 1 ชั่วโมง ดังนั้นจึงสามารถทาทับได้อย่างรวดเร็ว สิ่งที่ระเหยออกมาในขณะที่สีแห้งตัว คือ น้ำและโมโนเมอร์ที่เหลืออยู่ ซึ่งไม่มีกลิ่นรุนแรง นอกจากนี้จะไม่มีอันตรายจากการติดไฟ
4. ทาได้เรียบโดยง่าย แม้นในผิวหน้าที่มีรูพรุน
5. ทนทานต่อต่างได้ดี โดยเฉพาะอย่างยิ่งในกลุ่มของสไตรีน-บิวตะไดอีนอีมีลชันและอะคริลิกอีมีลชัน แต่โพลีไวนิลแอลกอฮอล์ จะไฮโดรไลซ์กลายเป็นกรดได้ง่าย ดังนั้นจึงพบว่ามี ความทนทานต่อต่างต่ำ

สีอิมัลชันมีจุดอ่อน คือความสามารถในการปิดบังผิวหน้าไม่สูงมากและแรงยึดกับผิวหน้าไม่ค่อยดี นอกจากนี้มีบางชนิดเมื่อเคลือบด้วยสีอิมัลชัน จะมีสีในเนื้อไม้ที่ละลายน้ำได้ เลอะออกมาทำให้ผิวหน้าเป็นรอยต่าง วิธีการแก้ไขในกรณีคือต้องลงสีรองพื้นโดยใช้สีน้ำมันเสียก่อน

4.1 กระบวนการเกิดโพลิเมอร์แบบอิมัลชัน

สำหรับงานวิจัยนี้จะศึกษาการควบคุมอุณหภูมิของเครื่องปฏิกรณ์ของการโพลิเมอร์แบบอิมัลชันในกลุ่มของอะคริลิกอิมัลชัน (Acrylic Emulsion) ซึ่งใช้แจ็คเก็ตในการให้ความร้อนหรือทำความเย็น โดยปัจจุบันใช้การควบคุมแบบพีไอดี (PID Control) ซึ่งพบว่าประสิทธิภาพในการควบคุมยังไม่ดี เนื่องจาก

1. ปฏิกริยาที่เกิดเป็นปฏิกริยาคายความร้อนและเกิดความร้อนอย่างต่อเนื่องจึงทำให้เกิดความร้อนสะสม
2. ช่วงแรกที่เกิดปฏิกริยา อุณหภูมิจะพุ่งสูงเกินอุณหภูมิที่ตั้ง (Set Point)
3. ในการผลิตอย่างต่อเนื่องจะเกิดคราบสกปรกสะสมที่พื้นผิวของเครื่องปฏิกรณ์ ทำให้การแลกเปลี่ยนความร้อนเกิดได้ไม่ดี

4.1.1 ขั้นตอนการผลิตโพลิเมอร์แบบอิมัลชัน

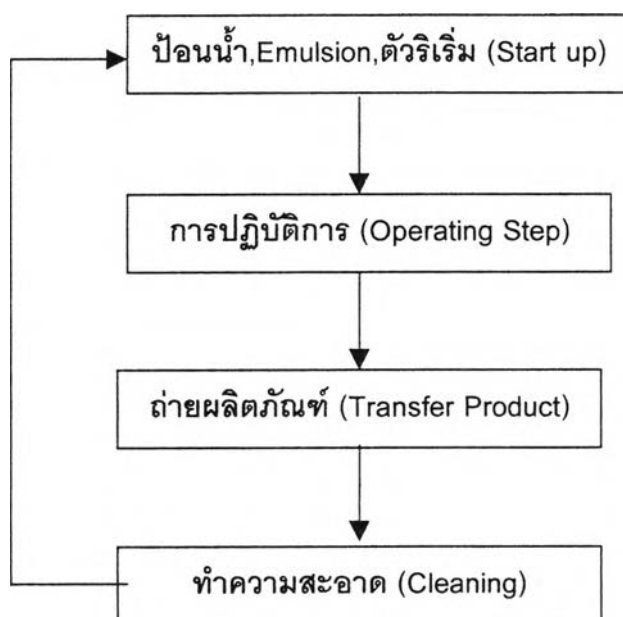
ขั้นตอนหลัก ๆ ของการผลิตโพลิเมอร์แบบอิมัลชันในกลุ่มของอะคริลิกอิมัลชัน ในเครื่องปฏิกรณ์แบบเซมิ-แบตช์ สามารถแบ่งออกเป็น 4 ขั้นตอน คือ

1. การเริ่มต้นการผลิต (Start up) โดยการป้อนน้ำ, อิมัลซิไฟเออร์ และตัวริเริ่มลงในเครื่องปฏิกรณ์แบบเซมิ-แบตช์ (Semi-Batch Reactor) ที่อุณหภูมิห้อง
2. ขั้นตอนการปฏิบัติการ (Operating Step) เริ่มจากการให้ความร้อนแก่สารในเครื่องปฏิกรณ์ โดยการแลกเปลี่ยนความร้อนระหว่างสารในเครื่องปฏิกรณ์และน้ำร้อนในแจ็คเก็ตจนอุณหภูมิของเครื่องปฏิกรณ์ถึงอุณหภูมิเซตพอยต์ซึ่งเป็นอุณหภูมิที่สามารถทำปฏิกริยาได้ หลังจากนั้นเริ่มทำการป้อนโมโนเมอร์ในอัตราเร็วและเวลาที่กำหนด โดยควบคุมอุณหภูมิภายใน

เครื่องปฏิกรณ์ที่จุดเซตพอยต์นั้นตลอดการเกิดปฏิกิริยา จนกระทั่งเกิดปฏิกิริยาสมบูรณ์ แล้วทำให้เย็นลง

3. การถ่ายผลิตภัณฑ์ (Transfer Product) โดยการถ่ายผลิตภัณฑ์ที่ได้ออกจากเครื่องปฏิกรณ์แบบเคมี-แบตช์ เพื่อบรรจุออกเป็นผลิตภัณฑ์สำเร็จรูปเพื่อจำหน่ายต่อไป

4. การทำความสะอาด (Cleaning) ในการผลิตผลิตภัณฑ์ชนิดเดียวกันต่อเนื่อง นิยมผลิตต่อเนื่องจำนวนหลายแบตช์ ๆ แล้วจึงทำความสะอาด แต่ถ้าต้องการเปลี่ยนผลิตภัณฑ์ใหม่ก็ต้องล้างทันที เพื่อทำการผลิตผลิตภัณฑ์ใหม่ ๆ

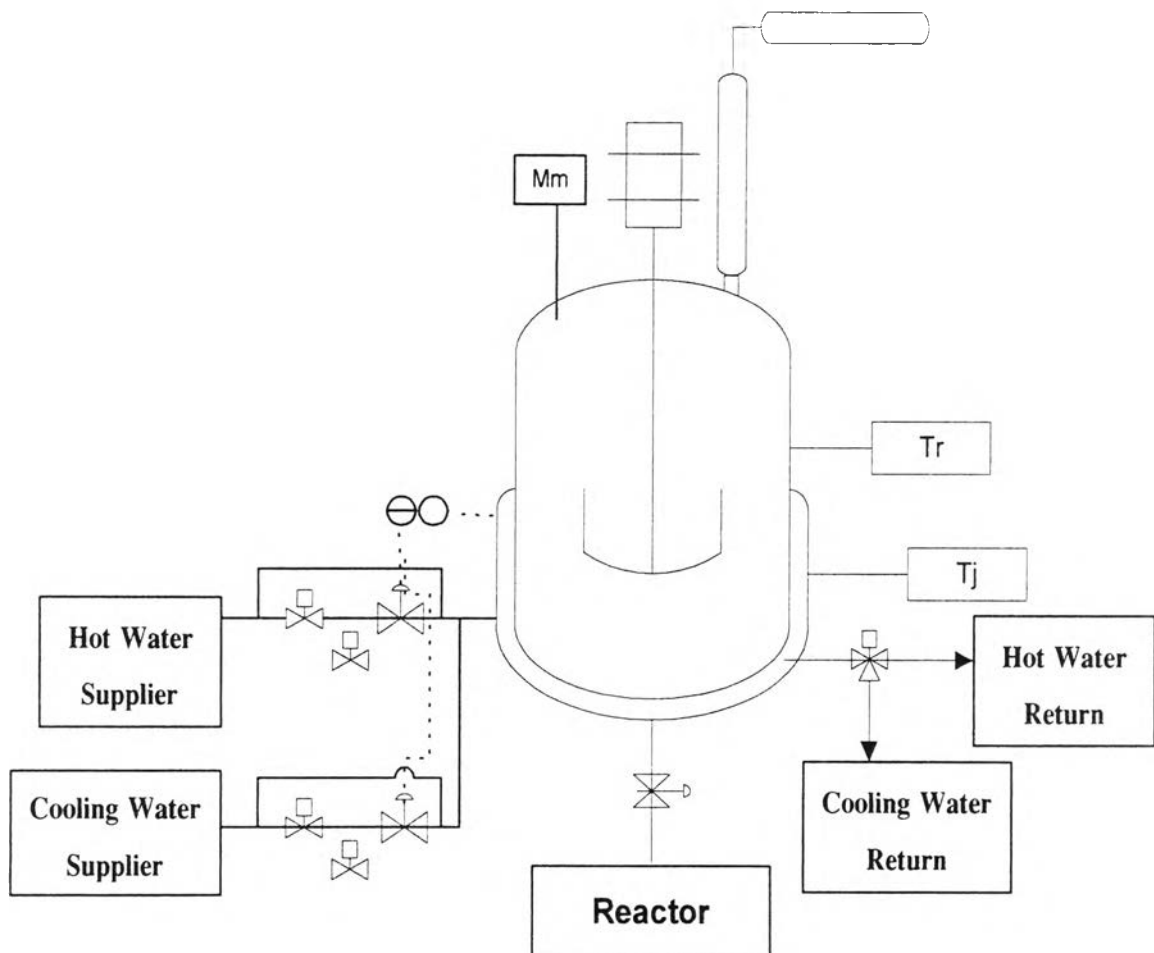


รูปที่ 4.1 ขั้นตอนการดำเนินการของกระบวนการโดยใช้เครื่องปฏิกรณ์แบบเคมี-แบตช์

4.1.2 องค์ประกอบในกระบวนการผลิตโพลีเมอร์แบบอิมัลชัน

องค์ประกอบหลักในกระบวนการเกิดโพลีเมอร์แบบอิมัลชัน ในกลุ่มของอะครีลิคอิมัลชัน ได้แก่

1. โมโนเมอร์ (Monomer) ที่ไม่ละลายน้ำ หรือละลายน้ำได้น้อยมาก
2. ตัวกลาง (Dispersing Media) ได้แก่ น้ำ
3. อิมัลซิไฟเออร์ (Emulsifier) ซึ่งทำหน้าที่ลดความตึงผิวของน้ำเพื่อให้เกิดภาวะอิมัลชัน
4. ตัวริเริ่ม (Initiator) ที่ละลายน้ำได้ ได้แก่ โพแทสเซียมเปอร์ซัลเฟต ($K_2S_2O_8$)



รูปที่ 4.2 โครงสร้างของระบบการทำงานของเครื่องปฏิกรณ์แบบเคมี-แบตช์

การควบคุมอุณหภูมิของปฏิกิริยาแบบคายความร้อนในเครื่องปฏิกรณ์แบบเคมี-แบตช์ทำได้ยาก เนื่องจากปฏิกิริยาที่เกิดขึ้นส่งผลให้เกิดความไม่แน่นอนของพารามิเตอร์บางตัวในระบบ ดังนี้

1. ปริมาณความร้อนที่เกิดขึ้นจากปฏิกิริยาถูกปล่อยออกมาอย่างต่อเนื่องและต้องควบคุมอุณหภูมิให้เกิดการพุ่งเกิน (Overshooting) ให้น้อยที่สุด
2. แบบจำลองของกระบวนการ การเกิดโพลิเมอร์ส่วนใหญ่จะเป็นแบบไม่เป็นเชิงเส้นสูง
3. ในการผลิตอย่างต่อเนื่องจะเกิดคราบสกปรกสะสมที่พื้นผิวของเครื่องปฏิกรณ์ ทำให้มีผลต่อความไม่แน่นอนของสัมประสิทธิ์การถ่ายเทความร้อน
4. การหาแบบจำลองของกระบวนการเกิดโพลิเมอร์แบบอิมัลชันในกลุ่มอะครีลิกอิมัลชันสามารถทำได้ แต่แบบจำลองที่ให้ความถูกต้องสูงทำได้ยาก ทำให้มีความผิดพลาดในการกำหนดแบบจำลองกระบวนการได้

4.2 กลไกของการเกิดปฏิกิริยา

กระบวนการเกิดหรือการสังเคราะห์โพลิเมอร์แบบอิมัลชันในกลุ่มของอะครีลิกอิมัลชันเกิดปฏิกิริยาโพลิเมอร์ไรเซชันแบบลูกโซ่หรือแบบรวมตัว (Chain or Addition Polymerization) โดยจะมีกลไกของการเกิดปฏิกิริยาเป็นแบบฟรีเรดิคัล (ฟรีเรดิคัลคืออะตอมหรือกลุ่มอะตอมที่อิเล็กตรอนเดี่ยว) หรือแบบอออนิก โดยกลไกของปฏิกิริยาแบบลูกโซ่ทุกชนิดมี 3 ขั้นตอน คือ

1. อินิทิเอชัน (Initiation) คือการเริ่มต้นของปฏิกิริยาหรือการเริ่มต้นของสายโซ่โพลิเมอร์ ประกอบด้วย 2 ขั้นตอน คือ
 - 1.1. การกำเนิดฟรีเรดิคัล (Radical Formation) คือการที่ตัวริเริ่ม (Initiator) สลายตัวทำให้เกิดฟรีเรดิคัล (R^\cdot) ขึ้นในปฏิกิริยา โดยเมื่อตัวริเริ่มได้รับความร้อนจะแตกตัวออกเป็นฟรีเรดิคัล ดังสมการ 4-A1
 - 1.2. การเริ่มต้นของสายโซ่โพลิเมอร์ (Initiation) คือการที่ฟรีเรดิคัล (R^\cdot) ที่เกิดขึ้นเข้าทำปฏิกิริยากับโมโนเมอร์ได้เป็นฟรีเรดิคัลใหม่ (M^\cdot) ดังสมการ 4-A2

2. โพรพาเกชัน (Propagation) คือการแพร่ออกไปของปฏิกิริยาหรือการยืดยาวของสายโซ่โพลีเมอร์ ซึ่งหมายถึงการที่ฟรีเรดิคัล (M) ที่เกิดขึ้นเข้าทำปฏิกิริยากับโมโนเมอร์ที่ละตัวอย่างรวดเร็วจนได้สายโซ่ฟรีเรดิคัล (nM^{\cdot}) ที่มีน้ำหนักโมเลกุลสูงหรือประกอบด้วยโมโนเมอร์ (M) เป็นจำนวนมาก ดังสมการ 4-A3

3. เทอร์มิเนชัน (Termination) คือการสิ้นสุดหรือยุติของปฏิกิริยา หรือการสิ้นสุดหรือยุติของสายโซ่โพลีเมอร์ หมายถึงการที่สายโซ่ฟรีเรดิคัลเกิดจุดยุติ ซึ่งเกิดได้ 2 วิธี

3.1 การรวมตัว (Combination or Coupling) คือการที่สายโซ่ฟรีเรดิคัล 2 โซ่มารวมกันทำให้เกิดจุดยุติ ดังสมการ 4-A4

3.2 การแตกตัว (Disproportionation) คือการที่สายโซ่ฟรีเรดิคัลแตกตัวทำให้เกิดจุดยุติ ดังสมการ 4-A5

โดยจะเกิดปฏิกิริยาแบ่งเป็นขั้นตอนต่าง ๆ ได้ดังนี้

ขั้นตอน	ปฏิกิริยา
Radical Formation	$I \xrightarrow{k_d} 2R^{\cdot} \quad (4-A1)$
Initiation	$R^{\cdot} + M \xrightarrow{k_i} M^{\cdot} \quad (4-A2)$
Propagation	$M^{\cdot} + M_n \xrightarrow{k_p} M_{n+1}^{\cdot} \quad (4-A3)$
Termination by Coupling	$M_x^{\cdot} + M_y^{\cdot} \xrightarrow{k_{ic}} M_{x+y} \quad (4-A4)$
Termination by Disproportionation	$M_x^{\cdot} + M_y^{\cdot} \xrightarrow{k_{id}} M_x + M_y \quad (4-A5)$
	$k_t = k_{ic} + k_{id} \quad (4-A7)$

เมื่อ	I	=	ตัวริเริ่ม (Initiator)
	M	=	โมโนเมอร์
	R*	=	ฟรีเรดิคัลที่เกิดจากการสลายตัวของตัวริเริ่ม
	M*	=	ฟรีเรดิคัลที่เกิดจากโมโนเมอร์
	M _n	=	โมโนเมอร์ที่สายโซ่ยาว n
	M _{n+1} *	=	ฟรีเรดิคัลที่เกิดจากสายโซ่ยาว n+1
	k _d	=	ค่าคงที่เฉพาะของการสลายตัว
	k _i	=	ค่าคงที่เฉพาะของอัตราของขั้นตอนการริเริ่ม
	k _p	=	ค่าคงที่เฉพาะของอัตราโพรพาเกชัน
	k _{tc}	=	ค่าคงที่เฉพาะของอัตราเทอร์มินเนชันแบบการรวมตัว
	k _{td}	=	ค่าคงที่เฉพาะของอัตราเทอร์มินเนชันแบบแตกตัว
	k _t	=	ค่าคงที่เฉพาะของอัตราเทอร์มินเนชันรวม

4.3 การวิเคราะห์แบบจำลองของกระบวนการ

กลไกการเกิดปฏิกิริยาโพลิเมอร์ไรเซชันแบบลูกโซ่ของชัยวัฒน์ เจนวาณิชย์ (2527) และ F. Joseph Schort (1993) แสดงดังสมการ 4.A1 - 4.A7 โดยจะมีการกำหนดสมมติฐานหรือข้ออนุโลม ดังนี้

1. ปฏิกิริยาโพลิเมอร์ไรเซชันแบบลูกโซ่เป็นปฏิกิริยาที่ไม่เกิดย้อนกลับ (Irreversible)
2. อนุโลมให้อัตราโพรพาเกชันเป็นอิสระต่อความยาวโซ่เรดิคัล
3. อนุโลมให้อัตราเทอร์มินเนชันเป็นอิสระต่อความยาวโซ่เรดิคัล
4. สำหรับกระบวนการเกิดโพลิเมอร์ไรเซชันที่มีน้ำหนักโมเลกุลสูง การกำเนิดฟรีเรดิคัลและการเริ่มต้นของสายโซ่โพลิเมอร์น้อยมากเมื่อเทียบกับการยืดยาวของสายโซ่โพลิเมอร์

$$k_i [R^\bullet] M_M \ll k_p M_M [M^\bullet] \quad (4-1)$$

5. กฎอัตราของการเกิดปฏิกิริยาเกิดขึ้นที่สภาวะคงตัว (Steady State Approximation) คือความเข้มข้นของฟรีแรดิกัล $[M^{\bullet}]$ คงที่ตลอดปฏิกิริยาโพลิเมอร์เซชัน ดังนั้นอัตราการเปลี่ยนแปลงของ $[M^{\bullet}]$ หรือ $\frac{d[M^{\bullet}]}{dt}$ เท่ากับ 0 และเพื่อให้ $[M^{\bullet}]$ มีค่าคงที่

อัตราการเกิดฟรีแรดิกัล = อัตราการหายไปของฟรีแรดิกัล

$$V_i = V_t \quad (4-2)$$

$$\begin{aligned} \text{เมื่อ } V_i &= \text{อัตราการเกิดฟรีแรดิกัล} \\ V_t &= \text{อัตราการหายไปของฟรีแรดิกัล} \\ V_p &= \text{อัตราการโพลิเมอร์ไรเซชัน} \end{aligned}$$

อาศัยข้อมูลทั้ง 5 ข้อ สามารถพัฒนากฎอัตราการรวมตัวของโพลิเมอร์ไรเซชันแบบฟรีแรดิกัล ได้ดังนี้

อัตราอินิทิเอชัน V_i ตามสมการ (4-A2)

$$V_i = \frac{-d[I]}{dt} = 2fk_d[I] \quad (4-3)$$

อัตราโพรพาเกชัน V_p ตามสมการ (4-A3)

$$V_p = \frac{-d[M]}{dt} = k_i[R^{\bullet}][M] + k_p[M][M^{\bullet}] \quad (4-4)$$

$$\text{จากข้อมูล (3)} \quad k_i[R^{\bullet}][M] \ll k_p[M][M^{\bullet}] \quad (4-5)$$

$$\text{ดังนั้น} \quad V_p = \frac{-d[M]}{dt} = k_p[M][M^{\bullet}] \quad (4-6)$$

จากข้ออนุโลม (4) หรือสมการ (4-2) $V_i = V_t$

แต่
$$V_t = \frac{-d[M]}{dt} = 2k_t [M^\bullet]^2 \quad (4-7)$$

ดังนั้น
$$2fk_d [I] = 2k_t [M^\bullet]^2 \quad (4-8)$$

$$[M^\bullet] = \left(\frac{fk_d [I]}{k_t} \right)^{\frac{1}{2}} \quad (4-9)$$

ดังนั้น
$$V_p = k_p [M] \left(\frac{fk_d [I]}{k_t} \right)^{\frac{1}{2}} = k_p [M] \left(\frac{V_i}{2k_t} \right)^{\frac{1}{2}} \quad (4-10)$$

กำหนดให้
$$i = \left(\frac{fk_d [I]}{k_t} \right)^{\frac{1}{2}} = \left(\frac{V_i}{2k_t} \right)^{\frac{1}{2}} \quad (4-11)$$

ดังนั้น
$$V_p = ik_p [M] \quad (4-12)$$

ความสัมพันธ์ระหว่างค่าคงที่ของอัตรา, k และอุณหภูมิเป็นไปตามสมการอาร์เรเนียส ดังนี้

$$k = Ae^{-E_a/RT} \quad (4-13)$$

จาก
$$V_p \propto k_p \left(\frac{k_d}{k_t} \right)^{\frac{1}{2}} \quad (4-14)$$

4.3.1 ไตนามิกส์ของเครื่องปฏิกรณ์แบบเซมิ-แบตช์

เนื่องจากเครื่องปฏิกรณ์แบบเซมิ-แบตช์เปลี่ยนแปลงตลอดเวลา การดูในเทอมของความเข้มข้นจึงทำได้ยาก ดังนั้นจึงต้องตั้งสมมติฐานเพื่อให้สามารถทำการดุลมวลสารได้ดังนี้

1. กฎอัตราของปฏิกิริยาที่เกิดขึ้นที่สภาวะคงตัว (Steady State approximation)
2. ปฏิกิริยาที่เกิดขึ้นแต่ละขั้นตอนเป็นปฏิกิริยาอิลีเมนทารี และไม่สามารถผันกลับได้ (Elementary and Irreversible Reaction)
3. อัตราการเกิดปฏิกิริยาแต่ละขั้นไม่ขึ้นกับความยาวของสายโซ่โพลิเมอร์
4. ไม่เกิดปฏิกิริยาข้างเคียง
5. การกวนเกิดสมบูรณ์
6. เกิดปฏิกิริยาในเฟสของเหลวเท่านั้น

สมการอนุรักษ์มวลสาร (Material Balance)

$$\frac{dM_M}{dt} = F_M - V_p \quad (4-15)$$

โดยที่อัตราการไหลเชิงมวลของโมโนเมอร์ (F_M) เท่ากับอัตราส่วนของอัตราการไหลเชิงมวล (m_M) และน้ำหนักโมเลกุลของโมโนเมอร์ (MW_M) ดังสมการ 4-16

$$F_M = \frac{m_M}{MW_M} \quad (4-16)$$

จากการพัฒนากฎอัตราการรวมตัวของโพลิเมอร์ไรเซชันแบบฟรีแรติวัล จากสมการ 4-12 พบว่าอัตราการเกิดโพลิเมอร์ไรเซชัน (V_p) ได้ดังนี้

$$V_p = ik_p M_M \quad (4-17)$$

โดยที่ k_p แสดงดังสมการ 4-18

$$k_p = k_o \exp\left(\frac{-E_a}{RT_r}\right) \quad (4-18)$$

เมื่อแทนสมการ 4-16 ถึง 4-18 ลงในสมการ 4-15 ได้

$$\frac{dM_M}{dt} = \frac{m_M}{MW_M} - i k_o \exp\left(\frac{-E_a}{RT_r}\right) M_M \quad (4-19)$$

สมการอนุรักษ์พลังงาน (Energy Balance)

สมการอนุรักษ์พลังงาน (Energy Balance) มี 2 ส่วนคือ สมการอนุรักษ์พลังงานรอบเครื่องปฏิกรณ์ และสมการอนุรักษ์พลังงานของแจ๊คเก็ต

สมการอนุรักษ์พลังงานรอบเครื่องปฏิกรณ์

$$\frac{d(\sum W_i C_{p_i} T_r)}{dt} = m_M C_{p_M} (T_{amb} - T_r) + V_p (-\Delta H_p) - UA(T_r - T_j) \quad (4-23)$$

จัดสมการ 4-23 ให้อยู่ในรูปของ $\frac{dT_r}{dt}$ จะได้

$$\frac{dT_r}{dt} = \frac{m_M C_{p_M} (T_{amb} - T_r) + V_p (-\Delta H_p) - UA(T_r - T_j)}{W_r C_{p_r}} \quad (4-24)$$

$$\frac{dT_r}{dt} = \frac{m_M C_{p_M} (T_{amb} - T_r) + Q_r + UA(T_j - T_r)}{W_r C_{p_r}} \quad (4-25)$$

$$\text{โดยที่} \quad Q_r = V_p (-\Delta H_p) \quad (4-26)$$

$$M_r = M_M + M_w + M_s \quad (4-27)$$

$$W_r = W_M + W_w + W_s \quad (4-28)$$

$$Cp_r = \left[\frac{(Cp_M * W_M) + (Cp_w * W_w) + (Cp_s * W_s)}{W_r} \right] \quad (4-29)$$

สมการอนุรักษ์พลังงานของแจ๊คเก็ต

จากสมมติฐานว่าอุณหภูมิของน้ำหล่อเย็นมีค่าเดียวกันหมด และไม่ต้องใช้เวลาในการบรรจุแจ๊คเก็ตเมื่อเปลี่ยนจากไอน้ำไปเป็นน้ำหล่อเย็น หรือจากน้ำหล่อเย็นไปเป็นไอน้ำ เนื่องจากปั๊มที่ทำหน้าที่วนน้ำมีความจุสูงมาก ทำให้น้ำหล่อเย็นทั้งเข้าและออกมีอุณหภูมิเท่ากันและค่าความจุความร้อนของน้ำหล่อเย็นมีค่าคงที่ ดังนั้นสมการอนุรักษ์พลังงานของแจ๊คเก็ตสามารถเขียนได้ดังนี้

$$\frac{dT_j}{dt} = \frac{F_j \rho_j Cp_j (T_{jsp} - T_j) - UA (T_j - T_r)}{V_j \rho_j Cp_j} \quad (4-30)$$

นอกจากนี้พื้นที่ในการถ่ายเทความร้อน (A) ของเครื่องปฏิกรณ์แบบเซมิแบตช์ เปลี่ยนแปลงตามเวลา เนื่องจากปริมาตรของส่วนผสมในเครื่องปฏิกรณ์ (V) เพิ่มขึ้น ดังนั้นให้สมมติว่าเครื่องปฏิกรณ์เป็นทรงกระบอก จึงสามารถหาปริมาตรเครื่องปฏิกรณ์และพื้นที่ในการถ่ายเทความร้อนของเครื่องปฏิกรณ์ (A) ได้ดังนี้

$$A = \frac{2V}{R} \quad (4-31)$$

4.4 การประยุกต์ใช้การควบคุมแบบจีเอ็มซี

การประยุกต์ใช้การควบคุมแบบจีเอ็มซีในการควบคุมอุณหภูมิของปฏิกิริยาคายความร้อน ของกระบวนการเกิดอิมัลชันโพลีเมอร์ในกลุ่มของอะครีลิกอิมัลชัน

จากกฎของดุลพลังงาน โดยพิจารณาสมการดุลพลังงานรอบเครื่องปฏิกรณ์

$$\begin{aligned} \text{อัตราการสะสมพลังงาน} = & \text{พลังงานที่เข้าระบบ} + \text{พลังงานที่ออกจากระบบ} \\ & + \text{พลังงานที่เกิดขึ้น} + \text{พลังงานที่หายไป} \end{aligned}$$

จากสมการอนุรักษ์พลังงาน ตามสมการที่ 4-25 มาประยุกต์ใช้ในสมการจีเอ็มซีอัลกอริทึม ตามสมการ 3-11 โดยการแทนค่า Y ด้วย T_r ได้ดังนี้

$$\text{สมการ 4-25} \quad \frac{dT_r}{dt} = \frac{m_M C_{p_M} (T_{amb} - T_r) + Q_r + UA (T_j - T_r)}{W_r C_{p_r}}$$

$$\text{สมการ 3-11} \quad K_1 (\dot{Y} - Y) + \int_0^t K_2 (\dot{Y} - Y) dt = F(x, u, t) = \frac{dY}{dt}$$

$$\text{นั่นคือ} \quad \frac{dT_r}{dt} = K_1 (T_{rsp} - T_r) + K_2 \int_0^t (T_{rsp} - T_r) dt \quad (4-32)$$

เพราะฉะนั้น เมื่อรวมสมการ 4-25 และสมการ 4-32 ได้ตั้งสมการ 4-33 ดังนี้

$$K_1 (T_{rsp} - T_r) + K_2 \int_0^t (T_{rsp} - T_r) dt = \frac{m_M C_{p_M} (T_{amb} - T_r) + Q_r + UA (T_j - T_r)}{W_r C_{p_r}} \quad (4-33)$$

โดยจากสมการ 4-33 สามารถหาสมการความสัมพันธ์ของตัวแปรปรับคืออุณหภูมิของแจ๊คเก็ต (T_j) กับตัวแปรที่ต้องการควบคุมคืออุณหภูมิของเครื่องปฏิกรณ์ (T_r) ในรูปของสมการจี้เอ็มซีได้ดังนี้

$$T_j = T_r - Q_r - m_M C_{p_M} (T_{amb} - T_r) + \frac{W_r C_{p_r}}{UA} \{K_1 (T_{rsp} - T_r) + K_2 \int_0^t (T_{rsp} - T_r) dt\} \quad (4-34)$$

การประยุกต์ในรูปแบบของการหาคำตอบของสมการ 4-34 ให้ง่ายขึ้น โดยจัดให้อยู่ในรูปแบบดิสคริต ซึ่งสามารถแสดงได้ดังนี้

$$T_j^{(k)} = T_r^{(k)} - Q_r^{(k)} - m_M C_{p_M} (T_{amb} - T_r^{(k)}) + \frac{W_r C_{p_r}}{UA} \{K_1 (T_{rsp} - T_r^{(k)}) + K_2 \sum (T_{rsp} - T_r^{(k)}) \Delta t\} \quad (4-35)$$

สมการ 4-34 จะเป็นสมการที่ใช้หาอุณหภูมิทั่วไปของแจ๊คเก็ต ($T_j^{(k)}$) ซึ่งไม่ใช่อุณหภูมิเซตพอยต์ของแจ๊คเก็ต ($T_{jsp}^{(k)}$) ที่จะทำให้อุณหภูมิของเครื่องปฏิกรณ์ ($T_r^{(k)}$) เข้าสู่เซตพอยต์ โดยพบว่าถ้าใช้อุณหภูมิทั่วไปของแจ๊คเก็ต ($T_j^{(k)}$) ในการควบคุมกระบวนการจะส่งผลให้อุณหภูมิของเครื่องปฏิกรณ์เข้าสู่ค่าเซตพอยต์ช้าหรือไม่เข้าสู่ค่าเซตพอยต์เลย

อุณหภูมิเซตพอยต์ของแจ๊คเก็ต ($T_{jsp}^{(k)}$) สามารถหาได้โดยสมมติแบบจำลองเป็นอันดับหนึ่ง และกำหนดให้ τ_j เป็นค่าคงที่ของเวลาที่ถูกประมาณขึ้น ซึ่งสามารถแทนสมการอนุพันธ์ได้ดังนี้

$$T_j^{(k)} = T_j^{(k-1)} + \frac{\Delta t (T_{jsp}^{(k)} - T_j^{(k-1)})}{\tau_j} \quad (4-36)$$

จากสมการข้างต้นสามารถหาอุณหภูมิเซตพอยต์ที่ต้องการของแจ๊คเก็ตได้ ดังนี้

$$T_{jsp}^{(k)} = T_j^{(k-1)} + \frac{\tau_j (T_j^{(k)} - T_j^{(k-1)})}{\Delta t} \quad (4-37)$$

เมื่อหาค่าอุณหภูมิเซตพอยต์ของแจ๊คเก็ต ($T_{jsp}^{(k)}$) ได้ ก็สามารถควบคุมกระบวนการ โดยจะทำให้อุณหภูมิของเครื่องปฏิกรณ์ ($T_r^{(k)}$) เข้าสู่เซตพอยต์ได้

ตัวแปรปรับคืออุณหภูมิของแจ๊คเก็ต (T_j) สามารถวัดค่าได้จากกระบวนการ เพื่อใช้คำนวณเซตพอยต์ของเครื่องปฏิกรณ์ ($T_r^{(k)}$) และคำนวณหาค่าอุณหภูมิเซตพอยต์ของแจ๊คเก็ต ($T_{jsp}^{(k)}$) ได้

4.5 การประมาณค่าความร้อนที่เกิดจากปฏิกิริยา

สำหรับงานวิจัยนี้ใช้วิธีการประมาณค่าความร้อนออนไลน์ร่วมกับการควบคุมแบบจีเอ็มซี (On-Line Estimation of the Heat Released for the GMC Controller) ของ Cott และ Macchietto (1989) โดยการกำหนดดุลพลังงานเครื่องปฏิกรณ์ การลดปัญหาที่เกิดขึ้นโดยเลือกการประมาณค่าความร้อนในเทอม Q_r

สมการอนุรักษ์พลังงานรอบเครื่องปฏิกรณ์

$$\frac{dT_r}{dt} = \frac{m_M C_{p_M} (T_{amb} - T_r) + Q_r + UA (T_j - T_r)}{W_r C_{p_r}} \quad (4-25)$$

โดยจัดรูปสมการ 4-25 ให้อยู่ในรูปความร้อนที่เกิดจากปฏิกิริยา Q_r

$$Q_r = W_r C_{p_r} \frac{dT_r}{dt} - m_M C_{p_M} (T_{amb} - T_r) - UA (T_j - T_r) \quad (4-38)$$

จากสมการ 4-25 หรือสมการ 4-38 พบว่าอุณหภูมิของเครื่องปฏิกรณ์ (T_r) และอุณหภูมิของแจ๊คเก็ต (T_j) สามารถวัดได้โดยตรง แต่เนื่องจากเทอมอนุพันธ์ของอุณหภูมิของเครื่องปฏิกรณ์ ($\frac{dT_r}{dt}$) ไม่สามารถวัดได้ ดังนั้นต้องใช้วิธีการประมาณค่าความร้อนออนไลน์จากอุณหภูมิของเครื่องปฏิกรณ์ที่วัดได้ โดยวิธีการอนุพันธ์เชิงตัวเลข (Numeric Differentiation) ซึ่งมีความไวต่อความผิดพลาดจากการวัดสูงมาก แต่สามารถหลีกเลี่ยงปัญหานี้โดยการใช้สมการอนุพันธ์อันดับสูง (High-order Differentiation Equation) ซึ่งในกรณีนี้ใช้สมการความแตกต่าง

อันดับ 3 และตัวกรองเอกซ์โปเนนเชียลกับเวลาคงที่ทุก ๆ 1 นาที โดยการวัดอุณหภูมิและการประมาณค่าความร้อนที่เกิดจากปฏิกิริยา Q_{re} ดังนี้

$$T_{rf}^k = T_{rf}^{(k-1)} + \frac{\Delta t (T_r - T_{rf}^{(k-1)})}{\tau_f} \quad (4-39)$$

$$T_{jf}^k = T_{jf}^{(k-1)} + \frac{\Delta t (T_j - T_{jf}^{(k-1)})}{\tau_f} \quad (4-40)$$

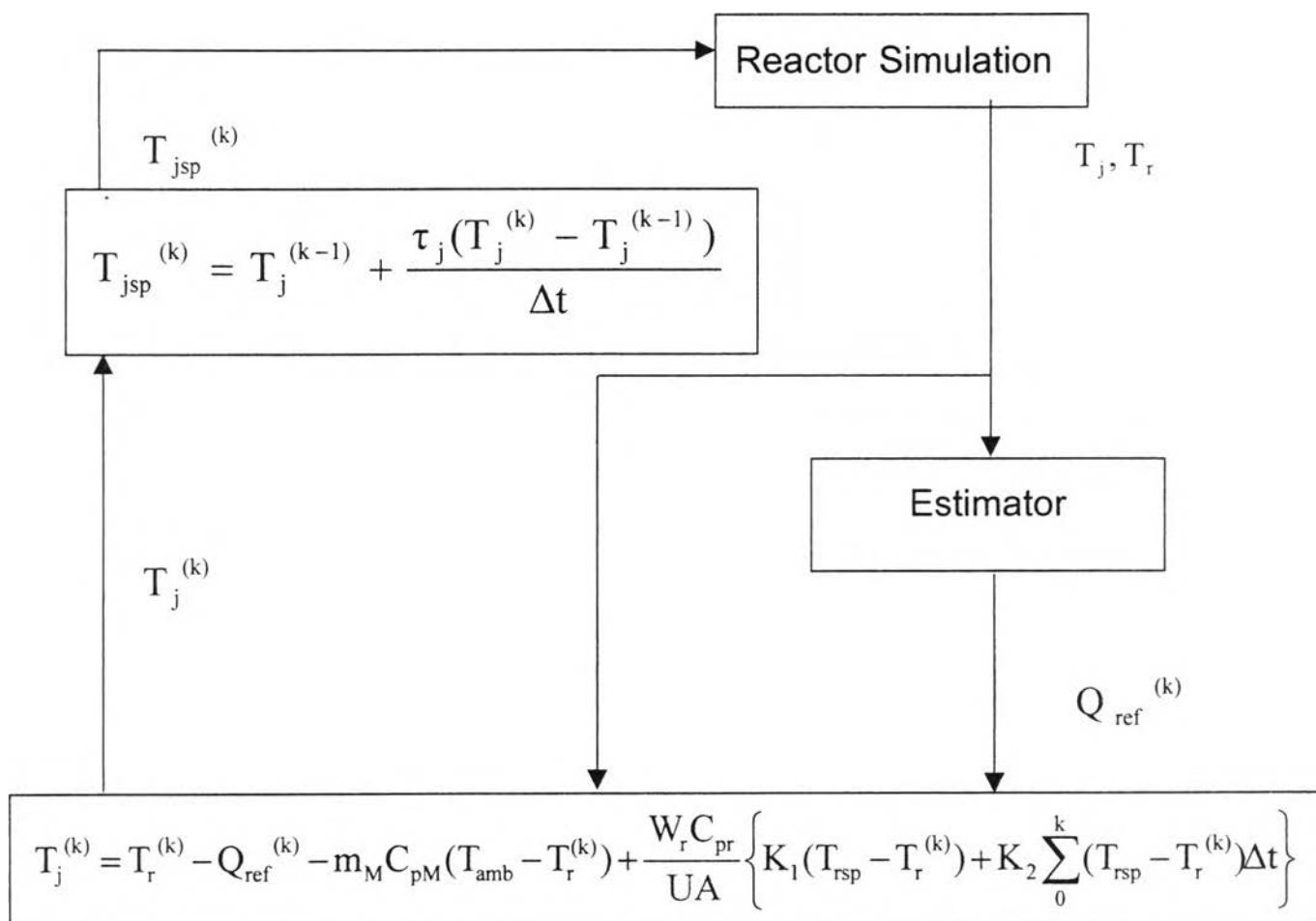
$$\frac{dT_{rf}^k}{dt} = \frac{3 T_{rf}^k - 4 T_{rf}^{(k-1)} + T_{rf}^{(k-2)}}{2 \Delta t} \quad (4-41)$$

การแทนค่าสมการ 4-39 ถึง 4-41 ลงในสมการอนุรักษ์พลังงานในรูปของค่าความร้อนที่เกิดจากปฏิกิริยา Q_{re} ตามสมการ 4-38 ได้ดังนี้

$$Q_{re}^k = W_r C_{p_r} \frac{dT_{rf}^k}{dt} - m_M C_{p_M} (T_{amb} - T_{rf}^k) - UA (T_{jf}^k - T_{rf}^k) \quad (4-42)$$

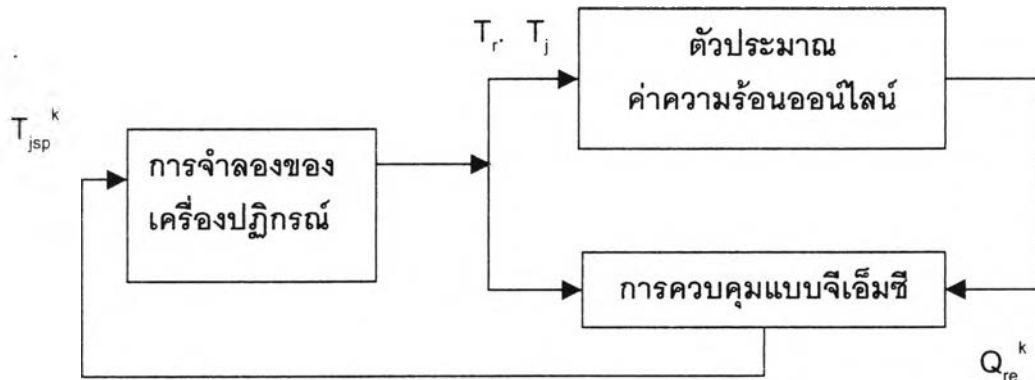
$$Q_{ref}^k = Q_{ref}^{k-1} + \frac{\Delta t (Q_r^k - Q_{rf}^{k-1})}{\tau_f} \quad (4-43)$$

ซึ่งสัญลักษณ์ f ชี้ให้เห็นถึงค่าที่ผ่านตัวกรองเอกซ์โปเนนเชียลของ T_r , T_j และ Q_{re}



รูปที่ 4.3 แสดงการควบคุมอุณหภูมิในเครื่องปฏิกรณ์แบบเซมิ-แบตช์โดยการควบคุมแบบจีเอ็มซี

การประมาณค่าความร้อนออนไลน์ร่วมกับการควบคุมแบบจีเอ็มสามารถสรุปแผนภาพได้ดังนี้



รูปที่ 4.4 แสดงการควบคุมแบบจีเอ็มซีร่วมกับการประมาณค่าความร้อนออนไลน์

4.6 การจูนสำหรับการควบคุมแบบจีเอ็มซี

การจูนสำหรับการควบคุมแบบจีเอ็มซี คือการเลือกค่า K_1 และ K_2 ที่เหมาะสม เพื่อจะทำให้การควบคุมมีสมรรถนะที่ดีด้วย โดยอาศัยทฤษฎีตามที่กล่าวในบทที่ 3

ในกระบวนการผลิตจริงกำหนดเวลาที่ใช้ในการให้ความร้อนกับเครื่องปฏิกรณ์จนถึงจุดเซ็ทพอยต์มีค่าเท่ากับ 20 นาที ($t = 20$ นาที) ในการศึกษาการควบคุมแบบจีเอ็มซีในงานวิจัยนี้ เราเลือกผลการตอบสนองการควบคุม $\zeta = 10$ ซึ่งจากรูปที่ 3.2 สามารถอ่านค่า $t / \tau = 0.25$ ดังนั้น

จากรูปภาคผนวก ค.1 ในกรณีที่เลือก $\frac{t}{\tau} = 0.25$

นั่นคือ
$$\tau = \frac{20}{0.25} = 80 \text{ นาที}$$

ดังนั้น
$$K_1 = \frac{2\xi}{\tau} = \frac{2 \times 10}{80} = 0.25$$

$$K_2 = \frac{1}{\tau^2} = \frac{1}{80^2} = 1.52625 \times 10^{-4}$$

นั่นคือการจูนสำหรับการควบคุมแบบจีเอ็มซีในงานวิจัยนี้ได้เลือกค่า K_1 เท่ากับ 0.25 และ K_2 เท่ากับ 1.52625×10^{-4}

4.7 การทดสอบความทนทานและสมรรถนะของตัวควบคุม

การควบคุมอุณหภูมิของเครื่องปฏิกรณ์การเกิดโพลีเมอร์แบบอิมัลชันโดยใช้การควบคุมแบบเจเนริกโมเดล ที่ใช้วิธีการประมาณค่าความร้อนออนไลน์ โดยทำการเปรียบเทียบสมรรถนะและความทนทานของการควบคุมแบบจีเอ็มซีกับการควบคุมแบบพีไอดี

สำหรับการทดสอบความทนทานของตัวควบคุมโดยที่ให้อุณหภูมิการดำเนินการและ/หรือพารามิเตอร์เปลี่ยนแปลงไปจากสถานะการดำเนินการปกติ ซึ่งความผิดพลาดต่างๆ ที่ศึกษาสามารถแบ่งได้ดังนี้

1. การเปลี่ยนแปลงอัตราการเกิดปฏิกิริยา
2. การเปลี่ยนแปลงสัมประสิทธิ์การถ่ายเทความร้อน
3. การเปลี่ยนแปลงอัตราการเกิดปฏิกิริยาและสัมประสิทธิ์การถ่ายเทความร้อนรวมกัน
4. การเปลี่ยนแปลงอัตราการป้อนโมโนเมอร์

ตารางที่ 4.1 พารามิเตอร์ต่าง ๆ ที่ใช้ในการจูน

ตัวแปร	ความหมาย	หน่วย	ค่าตัวแปร
K_1	ค่าคงที่ในการปรับ (Turning Parameter)	ต่อนาที	0.25
K_2	ค่าคงที่ในการปรับ (Turning Parameter)	ต่อนาที	1.52625×10^{-4}
K_C	ค่าคงที่เกิน		5.0
τ_1	เวลาอินทิกรัล	นาที	10.0
τ_D	เวลาอนุพันธ์	นาที	1.0

ตารางที่ 4.2 แสดงค่าพารามิเตอร์ต่าง ๆ ของการปฏิกิริยาอิมัลชันโพลีเมอร์ (Emulsion Polymer)

อธิบาย	สัญลักษณ์	หน่วย	ค่าตัวแปร
น้ำหนักโมเลกุลของโมโนเมอร์	MW_M	kg/kg-mole	100
น้ำหนักโมเลกุลของน้ำ	MW_w	kg/kg-mole	18
น้ำหนักโมเลกุลของของแข็ง	MW_s	kg/kg-mole	100
ความจุความร้อนจำเพาะของโมโนเมอร์	Cp_M	kcal/kg °C	0.45
ความจุความร้อนจำเพาะของน้ำ	Cp_w	kcal/kg °C	1.00
ความจุความร้อนจำเพาะของของแข็ง	Cp_s	kcal/kg °C	0.75
ความร้อนจำเพาะของโมโนเมอร์	H_M	kcal/kg-mole	13800
ความหนาแน่นของโมโนเมอร์	ρ_M	kg/m ³	938.85
ความหนาแน่นของน้ำ	ρ_j	kg/m ³	1000
ความหนาแน่นของของแข็ง	ρ_s	kg/m ³	1200

ตารางที่ 4.2 (ต่อ) แสดงค่าพารามิเตอร์ต่าง ๆ ของการปฏิกิริยาอิมัลชันโพลีเมอร์
(Emulsion Polymer)

อธิบาย	สัญลักษณ์	หน่วย	ค่าตัวแปร
Impurity Factor (Dimensionless)	I	-	0.8-1.2
ค่าคงที่ของก๊าซ (Gas Constant)	R	kcal/kmole °K	1.9873
พลังงานกระตุ้น (Activation Energy)	E_a	kcal/kmole	20
ค่าคงที่ของการเกิดปฏิกิริยาที่ 60 °C	k_0	kmole ⁻¹ min ⁻¹	42.30

ตารางที่ 4.3 แสดงค่าพารามิเตอร์ต่าง ๆ ของสายป้อนเข้าสู่เครื่องปฏิกรณ์

อธิบาย	สัญลักษณ์	หน่วย	ค่าตัวแปร
น้ำหนักของโมโนเมอร์ในสายป้อน	W_{MF}	kg	4149.5
น้ำหนักของน้ำในสายป้อน	W_{WF}	kg	1300.0
น้ำหนักของของแข็งในสายป้อน	W_{SF}	kg	159.2
สัดส่วนของโมโนเมอร์ในสายป้อน	f_{MF}		0.7398
สัดส่วนของน้ำในสายป้อน	f_{WF}		0.2318
สัดส่วนของของแข็งในสายป้อน	f_{SF}		0.0284
ความจุความร้อนจำเพาะของโพลีเมอร์	C_{p_r}	kcal/kg °C	
ความหนาแน่นของโพลีเมอร์	ρ_r	kg/m ³	
อุณหภูมิของสายป้อน	T_F	°C	30
อัตราการไหลเชิงมวลของสายป้อน	m_M	kgmin	31

ตารางที่ 4.4 แสดงค่าพารามิเตอร์ต่าง ๆ ของสารในเครื่องปฏิกรณ์ที่เวลาเริ่มต้น

อธิบาย	สัญลักษณ์	หน่วย	ค่าตัวแปร
น้ำหนักของน้ำในเครื่องปฏิกรณ์	W_{w0}	kg	3027
น้ำหนักของของแข็งในเครื่องปฏิกรณ์	W_{s0}	kg	21
สัดส่วนของโมโนเมอร์ในเครื่องปฏิกรณ์	f_{MF}		0.0000
สัดส่วนของน้ำในเครื่องปฏิกรณ์	f_{WF}		0.9931
สัดส่วนของของแข็งในเครื่องปฏิกรณ์	f_{SF}		0.0069
อุณหภูมิของในเครื่องปฏิกรณ์	T_F	$^{\circ}\text{C}$	30
อุณหภูมิเซตพอยต์ของเครื่องปฏิกรณ์	T_{rsp}	$^{\circ}\text{C}$	95
อุณหภูมิห้อง	T_{amb}	$^{\circ}\text{C}$	30

ตารางที่ 4.5 ขนาดรูปร่างและพารามิเตอร์ต่าง ๆ ของเครื่องปฏิกรณ์

อธิบาย	สัญลักษณ์	หน่วย	ค่าตัวแปร
เส้นผ่านศูนย์กลางกลางของเครื่องปฏิกรณ์	d	m	2.10
ความสูงของเครื่องปฏิกรณ์	h	m	2.38
ปริมาตรของเครื่องปฏิกรณ์	V	m^3	10
ปริมาตรของแจ็กเก็ต	V_j	m^3	4
อัตราการไหลของน้ำในแจ็กเก็ต	F_j	m^3/min	2.69
ความจุความร้อนจำเพาะของน้ำในแจ็กเก็ต	C_{p_j}	$\text{kcal}/\text{kg}^{\circ}\text{C}$	1.00
อุณหภูมิสูงสุดของน้ำในแจ็กเก็ต	T_{jmax}	$^{\circ}\text{C}$	120
อุณหภูมิต่ำสุดของน้ำในแจ็กเก็ต	T_{jmin}	$^{\circ}\text{C}$	30
สัมประสิทธิ์การถ่ายเทความร้อนรวม	U	$\text{kcal}/\text{m}^2 \cdot \text{min}^{\circ}\text{C}$	57.85